INFORME SEMANAL N° 1250

Fecha: 28 de septiembre de 2026

Lluvias: PRECIPITACIÓN ACUMULADA DESDE EL 16 AL 22 DE SEPTIEMBRE DE 2026
Detalles: El mes de septiembre se viene transitando con una difícil recomposición del campo pluvial. La primera quincena hizo retroceder el sistema climático a posiciones invernales y eso se notó fundamentalmente en la restricción de las masas de aire tropical, las cuales quedaron restringidas a la provincia de Misiones y el noreste de Corrientes. Alguna circulación oceánica favoreció las precipitaciones en el sudeste bonaerense, pero a gran escala la oferta de agua del mes está atrasada y por lo pronto con serias dificultades para lograr los valores normales.
Durante el último fin de semana, sin embargo, hubo una cierta reorganización del ambiente primaveral, el cual coincidió con un rápido pasaje frontal. Esto provocó el despliegue de precipitaciones menores y lloviznas en gran parte de la provincia, con algunas tormentas conspicuas e intensas en el centro del departamento Paraná y otras en las vecindades de la localidad de Santa Elena, en La Paz. Estas fueron excepciones asociadas a bolsones de aire húmedo, siendo las lluvias del resto del territorio mucho más débiles y homogéneas en su distribución. Luego de las precipitaciones, se sintió un temporario descenso térmico, definido a partir de una fuerte llegada de aire desde el sudoeste durante la jornada del lunes, algo que no recompone condiciones meteorológicas que puedan asociarse a una situación de invierno.
Los vientos durante el miércoles nuevamente comenzaron a imponerse desde el este y ya para hoy la circulación del norte o noreste es plena, impactando a pleno sobre el cambio ambiental con un marcado crecimiento en las máximas que se proyecta hasta muy avanzado el fin de semana.
Justamente este cambio de ambiente comienza a definir un período de inestabilidad que puede redundar en precipitaciones que den un mejor cierre a este mes de septiembre. La oferta de agua entre el domingo y el martes, puede ser generosa del centro para el norte, disminuyendo en volumen hacia el sur.

PRECIPITACIÓN ACUMULADA
16/09/26 al 22/09/26

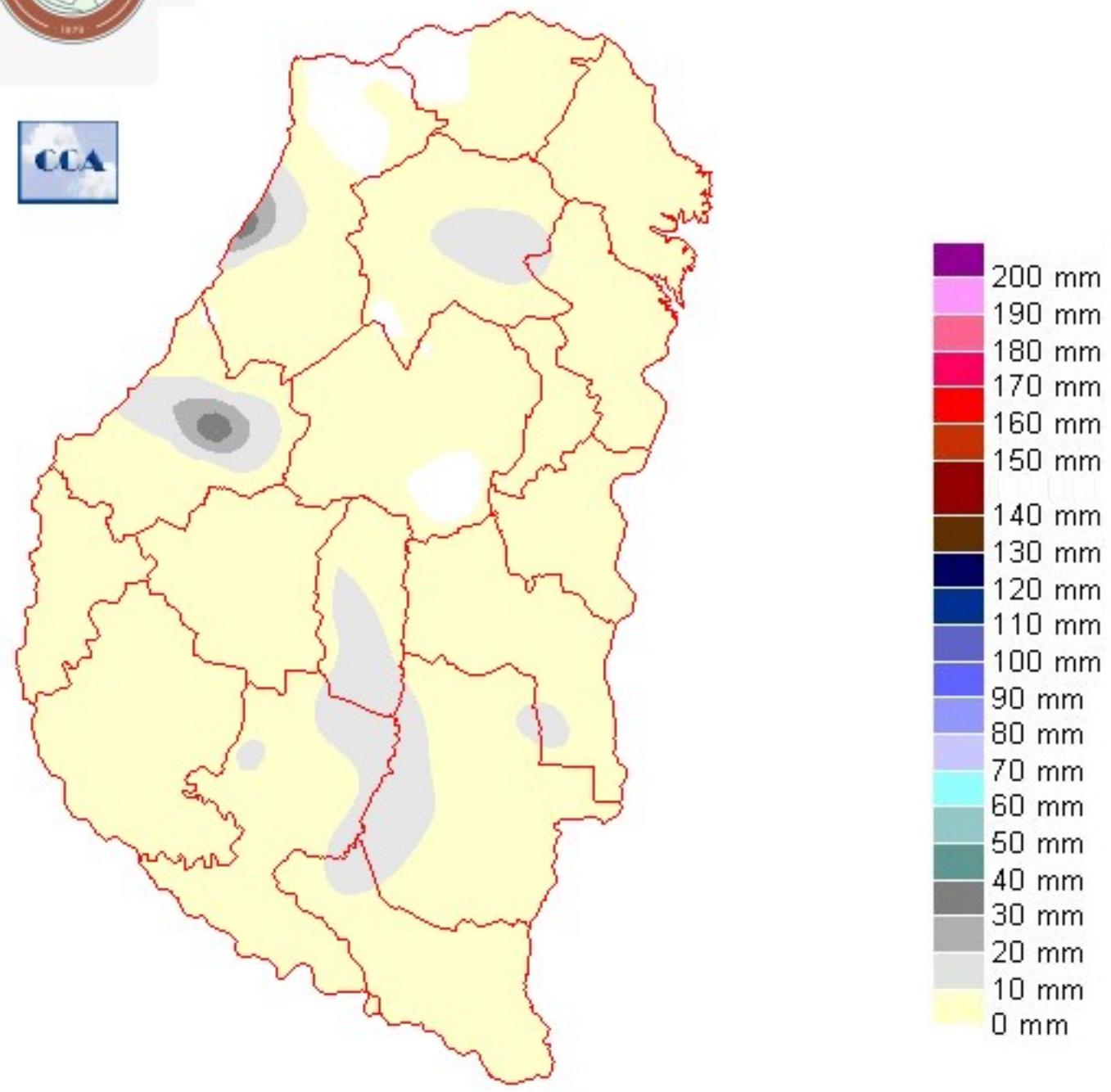

Reservas: ESTADO DE LAS RESERVAS AL 23 DE SEPTIEMBRE 2026
Detalles: El balance hídrico, tiene un impacto reconocible debido a la escasez pluvial de la última semana. Los auxilios que trajeron las precipitaciones del domingo, no fueron suficientes para limitar el retroceso del área con reservas adecuadas, salvando áreas reducidas, donde al menos se acopiaron diez milímetros.
La lectura que se puede hacer de esta situación no es necesariamente mala. Es un contexto que ha mejorado las condiciones ambientales, es decir, se limita el desarrollo de las potenciales enfermedades que seguramente hubiesen tenido lugar si el ambiente de agosto se mantenía dominante. Está claro que hay retrocesos en la humedad superficial, pero es razonable pensar que cultivos de invierno bien desarrollados ya han encontrado humedad en profundidad.
Por otra parte, atendiendo que transitamos un año donde la señal Niño se mantendrá muy intensa, es mejor que los suelos alcancen el momento del máximo pluvial con buena capacidad receptiva. Es una situación que plantea un equilibrio muy delicado, pero en general no podemos concluir que el escenario vigente represente un panorama comprometido para los cultivos de invierno o el maíz que se haya implantado recientemente.
Volviendo a los pronósticos de corto plazo, son buenas las chances de ingresar en una mejora pluvial a partir del domingo, con mayor recurrencia de eventos durante el lunes y martes sobre zonas del centro y norte. Aun con lluvias menores y sin alcanzar los valores normales del mes, el sur quedaría también con una buena posición de reservas. Correcciones oportunas más que lluvias abundantes es lo que se necesita en este momento.
Debemos recordar que, independientemente del fenómeno de El Niño, octubre es un mes que tiene una respuesta estadística positiva en las precipitaciones. Esto no garantiza nada, pero en principio deberíamos alcanzar una cobertura pluvial mejorada durante el próximo mes, antes de que se evidencie una influencia más marcada del forzante climático de escala planetaria.

ESTADO DE LAS RESERVAS
al 23/09/26

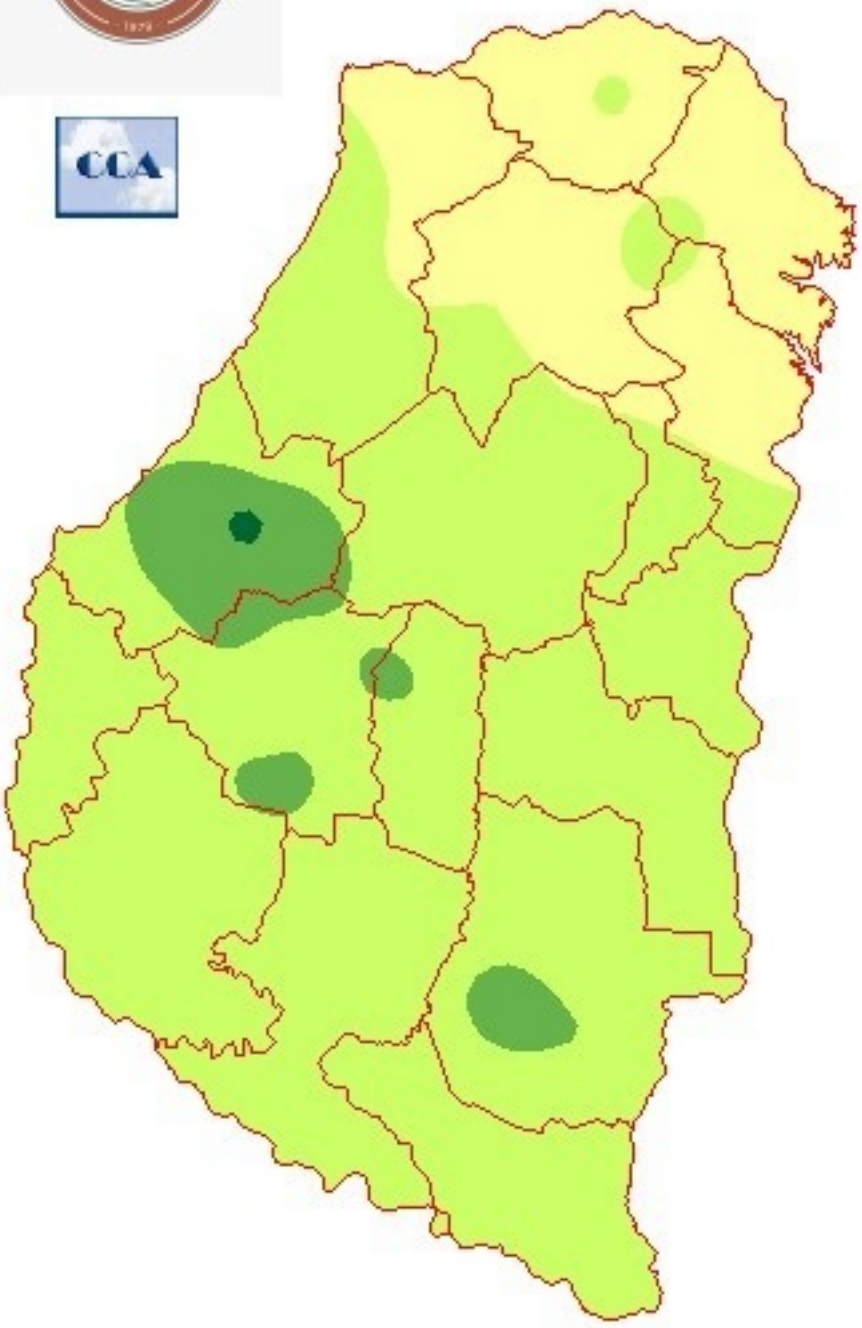

EXCESOS

RESERVA EXCESIVA

RESERVA ÓPTIMA

RESERVA ADECUADA

RESERVA REGULAR

RESERVA ESCASA

SEQUÍA

METODO FORTE LAY

Sección: SIEMBRA DE GIRASOL

Para la campaña 2026/27, la superficie destinada al cultivo de girasol en la provincia de Entre Ríos se estima en 22.000 ha. A la fecha, el avance de siembra alcanza el 80 %, lo que representa aproximadamente 17.600 ha implantadas.
De acuerdo con lo informado por los colaboradores, la superficie que aún resta sembrar se encuentra condicionada principalmente por la baja disponibilidad de humedad en la cama de siembra, situación que dificulta el avance de las labores y limita la posibilidad de lograr una adecuada implantación.
Asimismo, se señala que las bajas temperaturas registradas durante los primeros días posteriores a la siembra están retrasando la emergencia del cultivo, por lo que será importante la evolución de las condiciones térmicas y de humedad para favorecer un adecuado establecimiento de los lotes.



Figura 1: Girasol. Paraná. Ing. Agr. Mauro Brondi

Sección: SIEMBRA DE MAÍZ DE PRIMERA

La superficie total destinada al cultivo de maíz para la campaña 2026/27 se estima en 570.000 ha. Del total, aproximadamente el 95 % correspondería a maíz de primera, con una superficie cercana a las 540.000 ha, mientras que el 5 % restante, equivalente a unas 30.000 ha, sería destinado al maíz tardío y de segunda.

La siembra de maíz de primera (Figura 1), que en su mayor proporción se realizó durante el mes de septiembre y una escasa proporción en agosto, presenta un avance del 95 %.



Figura 1. Maíz de primera. Gualeguay. Ing. Agr. Marcelo Valenti

Los primeros lotes implantados a mediados de agosto, particularmente aquellos ubicados en sectores con excesos hídricos, presentaron condiciones menos favorables para el establecimiento inicial del cultivo.

Por otra parte, actualmente, los colaboradores destacan una disminución de la humedad en el estrato superficial del perfil del suelo. En este contexto, la ocurrencia de precipitaciones resulta relevante para sostener una adecuada disponibilidad hídrica en la cama de siembra, favoreciendo la germinación y emergencia de los lotes recientemente implantados y permitiendo, a su vez, avanzar con la finalización del área proyectada.

La Figura 2 presenta el avance de siembra de maíz en las distintas zonas productivas de la provincia de Entre Ríos.

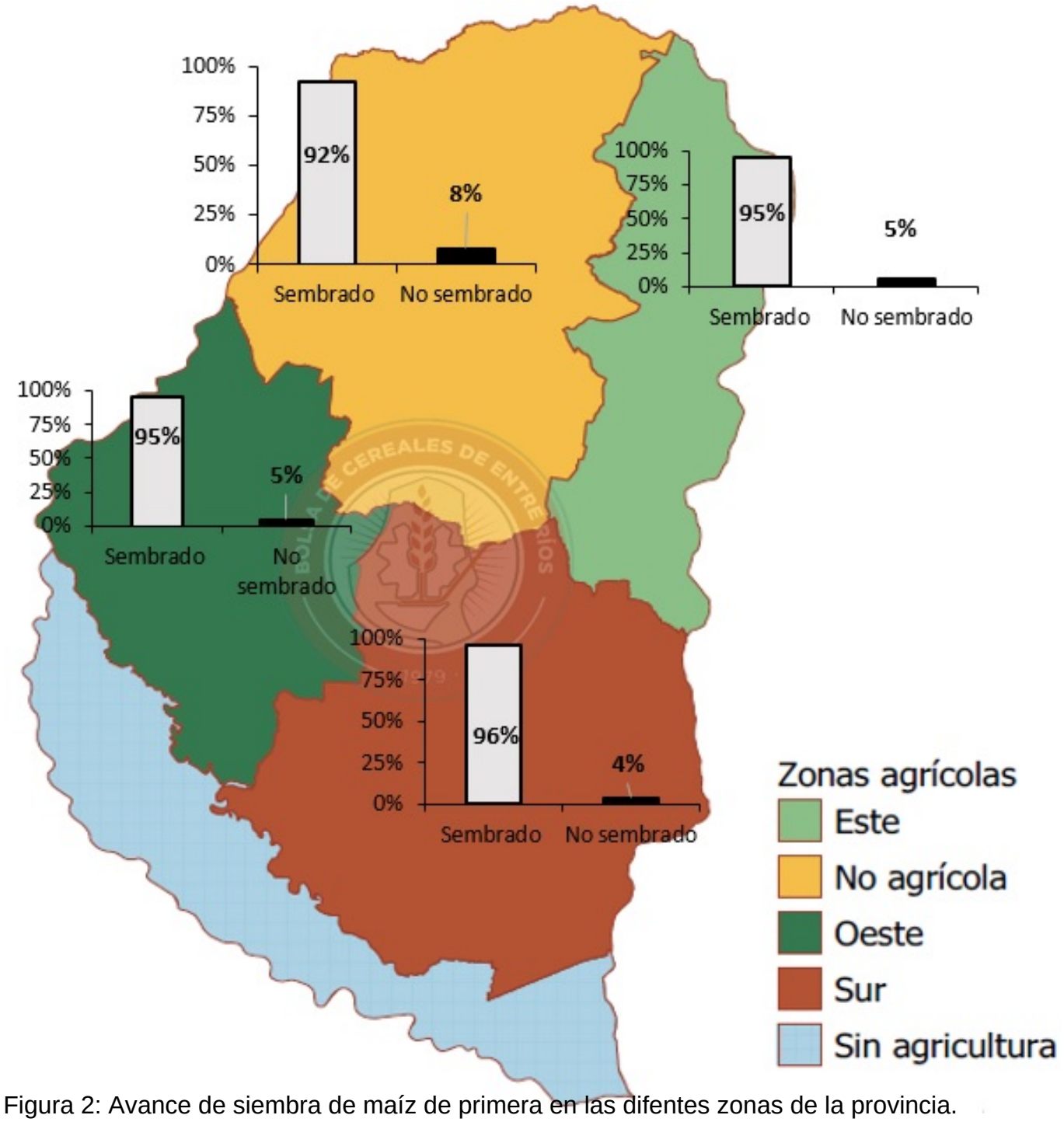

Figura 2: Avance de siembra de maíz de primera en las difentes zonas de la provincia.

En la Figura 3 se presenta la superficie sembrada de maíz de primera durante las últimas cinco campañas y la estimada para el ciclo 2026/27, junto con el avance de siembra registrado durante la segunda quincena de septiembre de cada campaña.

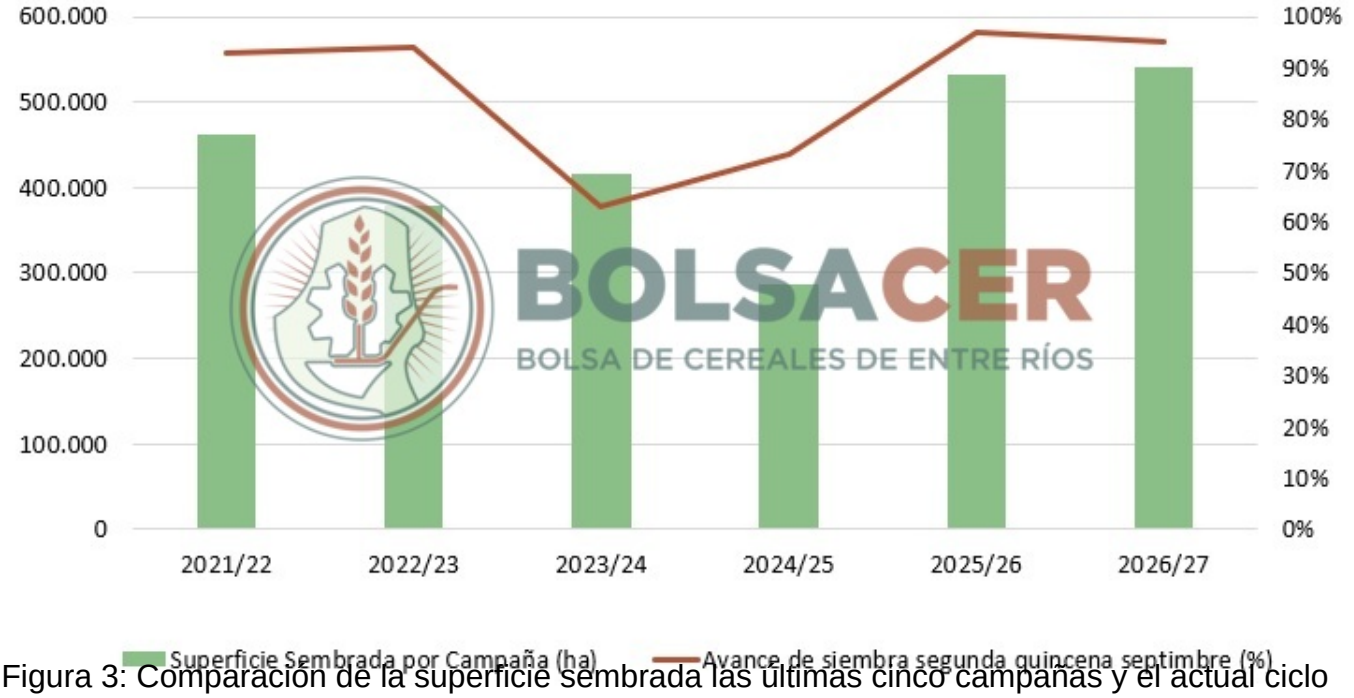

BOLSACER
BOLSA DE CEREALES DE ENTRE RÍOS

Figura 3: Comparación de la superficie sembrada las últimas cinco campañas y el actual ciclo 2026/27 y el avance de siembra (%) en la segunda quincena de septiembre de cada ciclo.

Para la campaña 2026/27, el avance de siembra alcanza el 95 %, ubicándose entre los registros más elevados de la serie y solo por debajo del 97 % registrado en 2025/26. La superficie proyectada, de 540.000 ha, es la mayor de las últimas seis campañas y supera levemente a la registrada en el ciclo 2025/26 que fue de 532.850 ha.

Sección: CONDICIÓN DE LINO

La superficie con lino en la provincia de Entre Ríos para el ciclo 2026/27 se sitúa en 9.500 ha aproximadamente. En relación al estado fenológico se observan lotes desde inicio a plena floración.



Figura 1: Figura 1: A. Lino. Paraná. Ing. Agr. César Martins Mogo. B. San Salvador. Ing. Agr. Gonzalo Locker

La condición del cultivo a nivel provincial se resume del siguiente modo:
Muy buena 8 %
Buena 37 %
Regular 55 %
Como se observa en la Figura 1, la condición del lino presentó una evolución desfavorable a medida que avanzó el ciclo. Luego de las dificultades registradas durante la implantación, los

lotes lograron una recuperación, pero posteriormente no pudieron sostener dicha condición. Los excesos hídricos, las dificultades para el control de malezas y las limitaciones en la disponibilidad de nitrógeno condicionaron el desarrollo del cultivo. Si bien, durante la última semana, los días soleados favorecieron una mejora en el aspecto general de los lotes, continúa predominando una condición regular.
Con respecto al estado sanitario, se han realizado aplicaciones para control de enfermedades.

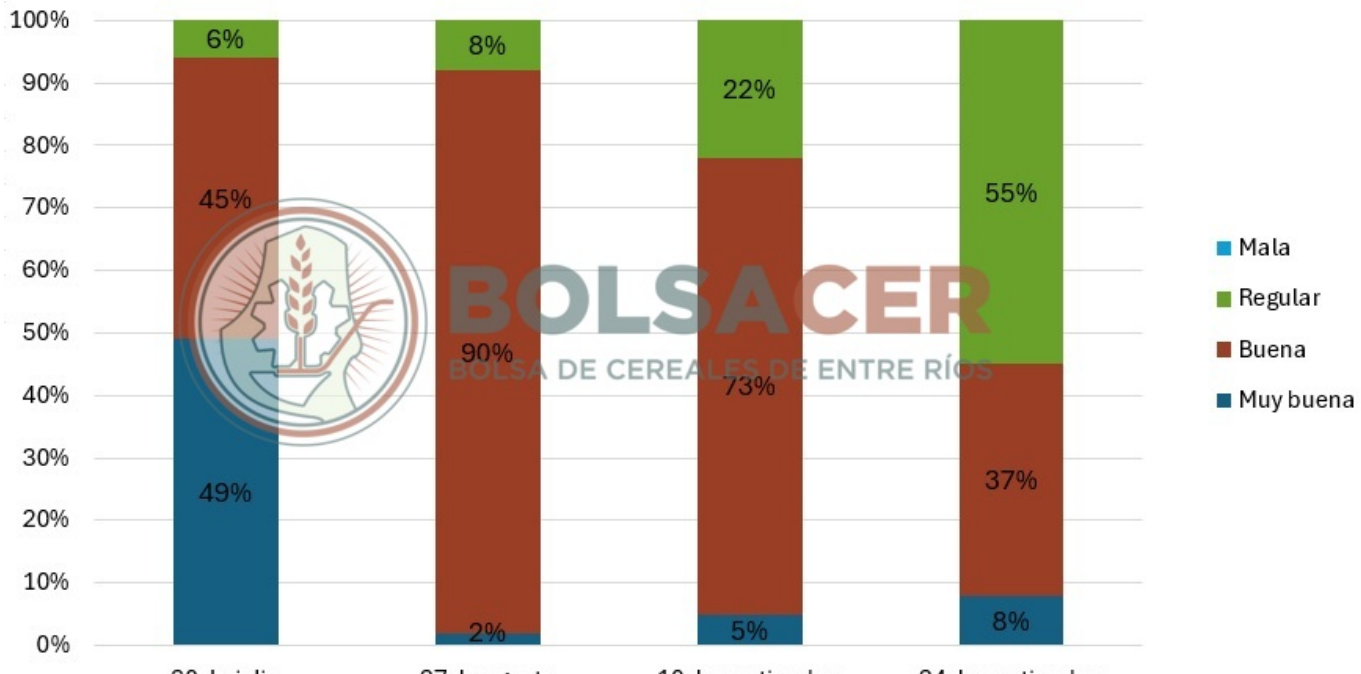

BOLSACER
BOLSA DE CEREALES DE ENTRE RÍOS
Figura 1: Evolución de la condición del cultivo de lino durante el ciclo 2026/27.

Sección: GRANIZO

En la tarde del domingo 20 de septiembre el ingreso de un frente frío originó la caída de granizo en el departamento Paraná, el evento se reportó aproximadamente a las 19 horas.

La mayor intensidad se observó en algunos sectores de la ciudad de Paraná y de la ciudad de María Grande.

En la Figura 1 se puede apreciar con imágenes del satélite GOES – 19 y del radar ubicado en la EEA INTA Paraná el núcleo de la tormenta.

Al día de la fecha no hay todavía imágenes satelitales disponibles para ver el efecto en el cambio del índice verde en la cobertura vegetal, no obstante, en base a las imágenes anteriores se determinó el área donde el granizo posiblemente fue más intenso.

Los colaboradores reportan daños en lotes de trigo fundamentalmente ubicados en la cercanía de la ruta provincial 10 entre El Palenque y María Grande, con un impacto menor hacia el norte en la ciudad de Cerrito.

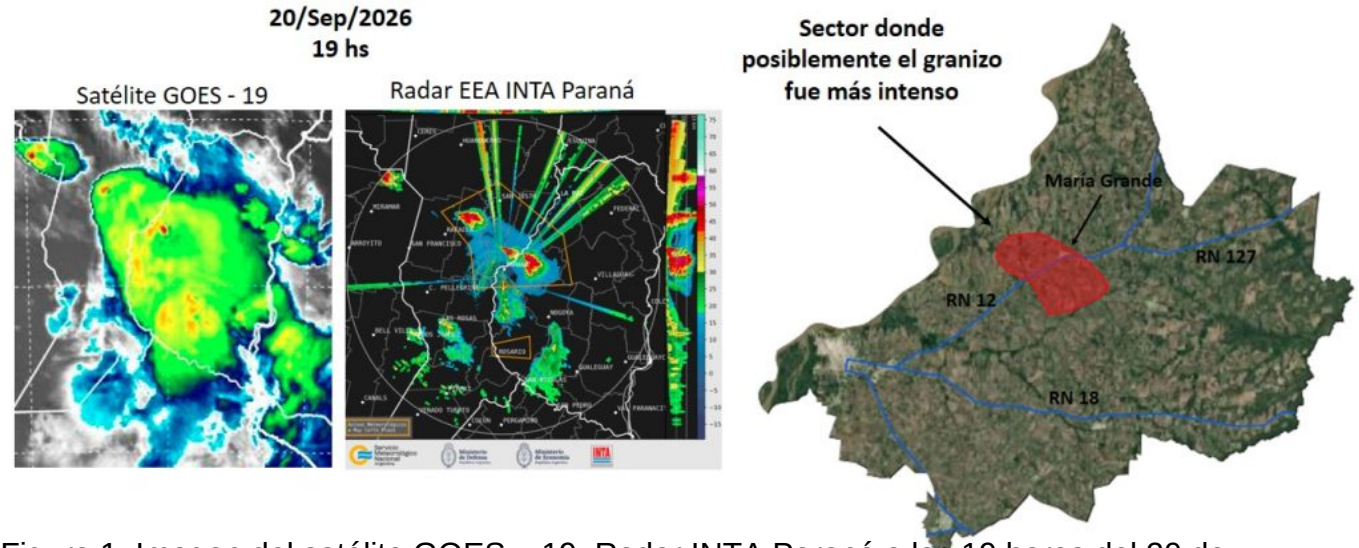

Figura 1: Imagen del satélite GOES – 19, Radar INTA Paraná a las 19 horas del 20 de septiembre del 2026 y posible sector de mayor impacto del granizo.

Sección: CARACTERIZACIÓN DEL RIESGO CLIMÁTICO PARA ENFERMEDADES Y SITUACIÓN SANITARIA DEL CULTIVO DE TRIGO

PERÍODO 15 AL 22 DE SEPTIEMBRE DE 2026

La Bolsa de Cereales de Entre Ríos y el INTA continúan con el seguimiento del riesgo climático para las principales enfermedades del cultivo de trigo durante la campaña 2026. Para el período comprendido entre el 15 y el 22 de septiembre, se analizaron las condiciones de temperatura y humedad relativa registradas por la red de centrales meteorológicas automáticas de la Bolsa de Cereales de Entre Ríos, considerando su relación con el desarrollo de mancha amarilla (*Pyrenophora tritici-repentis/Drechslera tritici-repentis*), roya amarilla o estriada (*Puccinia striiformis* f. sp. *tritici*), roya de la hoja o anaranjada (*Puccinia triticina*) y roya del tallo (*Puccinia graminis* f. sp. *tritici*).

En esta edición, además, se incorpora el análisis del riesgo climático para fusariosis de la espiga (*Fusarium graminearum*), basado en el modelo Moschini/INTA Castelar, considerando las condiciones ambientales favorables para la enfermedad durante el período analizado.

Asimismo, se presenta una perspectiva de riesgo climático para los días siguientes, estimada a partir de condiciones meteorológicas pronosticadas mediante el modelo meteorológico WRF, con una resolución espacial de 9 km, en el marco del Convenio de Cooperación entre la Bolsa de Cereales de Entre Ríos y la Universidad Nacional de La Plata.

Condiciones de temperatura y humedad relativa

Durante el período comprendido entre el 15 y el 22 de septiembre, la temperatura media mostró un aumento progresivo desde el inicio del período, alcanzó su valor máximo hacia el 19 de septiembre y posteriormente descendió, con una disminución marcada hacia el 22 de septiembre (Figura 1). Entre el 17 y el 20 de septiembre, las temperaturas se ubicaron dentro de los rangos considerados favorables para mancha amarilla y roya de la hoja, mientras que para roya del tallo la coincidencia se concentró principalmente entre el 18 y el 20 de

septiembre. Para roya amarilla, las temperaturas fueron compatibles con su rango favorable principalmente al inicio y hacia el final del período.

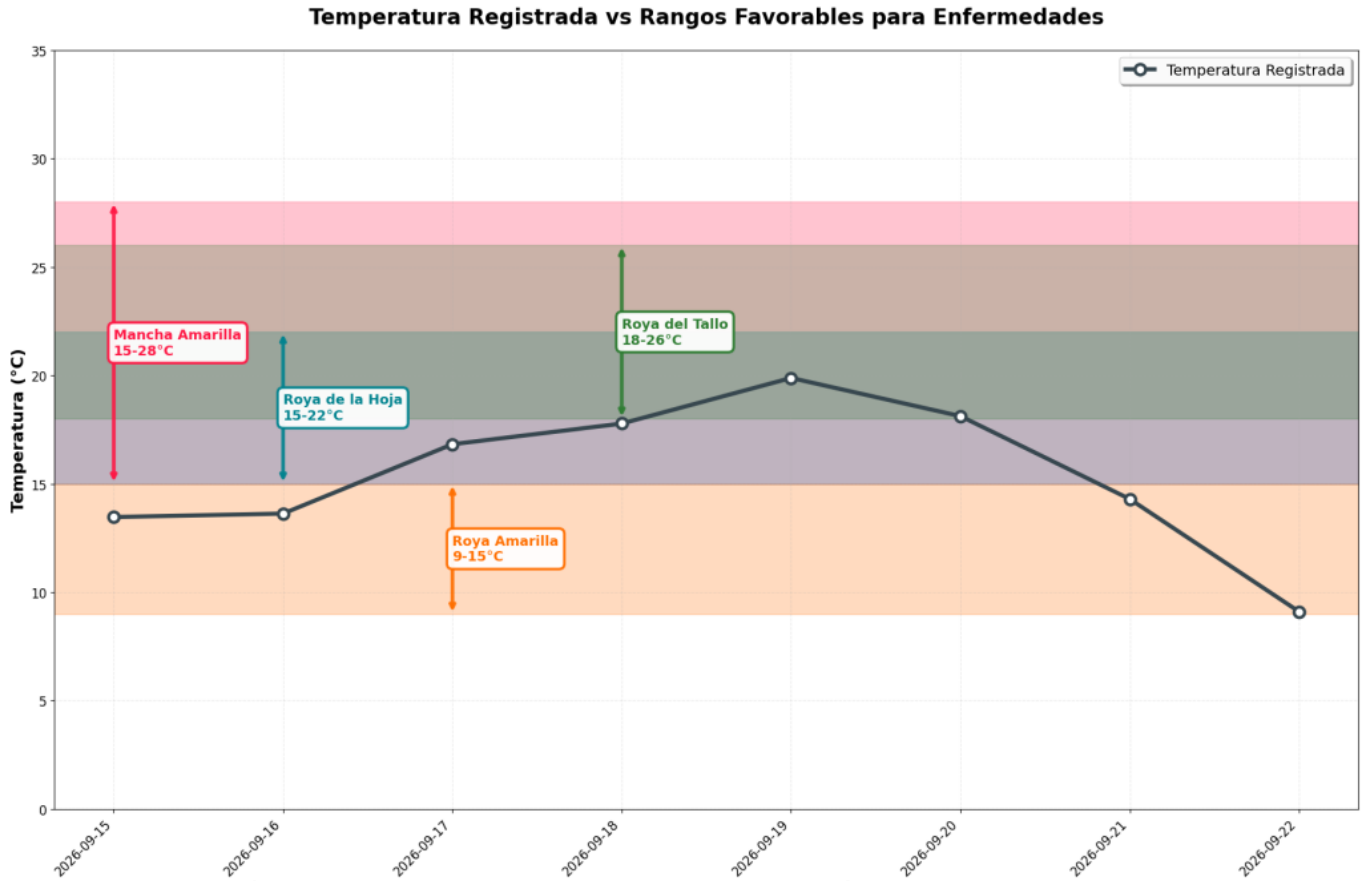

Figura 1. Evolución de la temperatura media durante el período comprendido entre el 15 y el 22 de septiembre de 2026 y rangos de temperatura considerados favorables para las principales enfermedades del trigo.

La humedad relativa presentó variaciones marcadas durante el período. Entre el 15 y el 19 de septiembre se mantuvo, en general, por debajo del 80 %, con valores aproximados entre 65 y 73 %. El 20 de septiembre se registró un incremento pronunciado, alcanzándose el valor máximo del período, próximo al 90 %, seguido de una fuerte disminución el 21 y una leve recuperación el 22 de septiembre (Figura 2). Ese incremento superó los umbrales considerados favorables para mancha amarilla (>80 %) y roya amarilla (>85 %), mientras que no superó el umbral de >90 % considerado para roya de la hoja y roya del tallo.

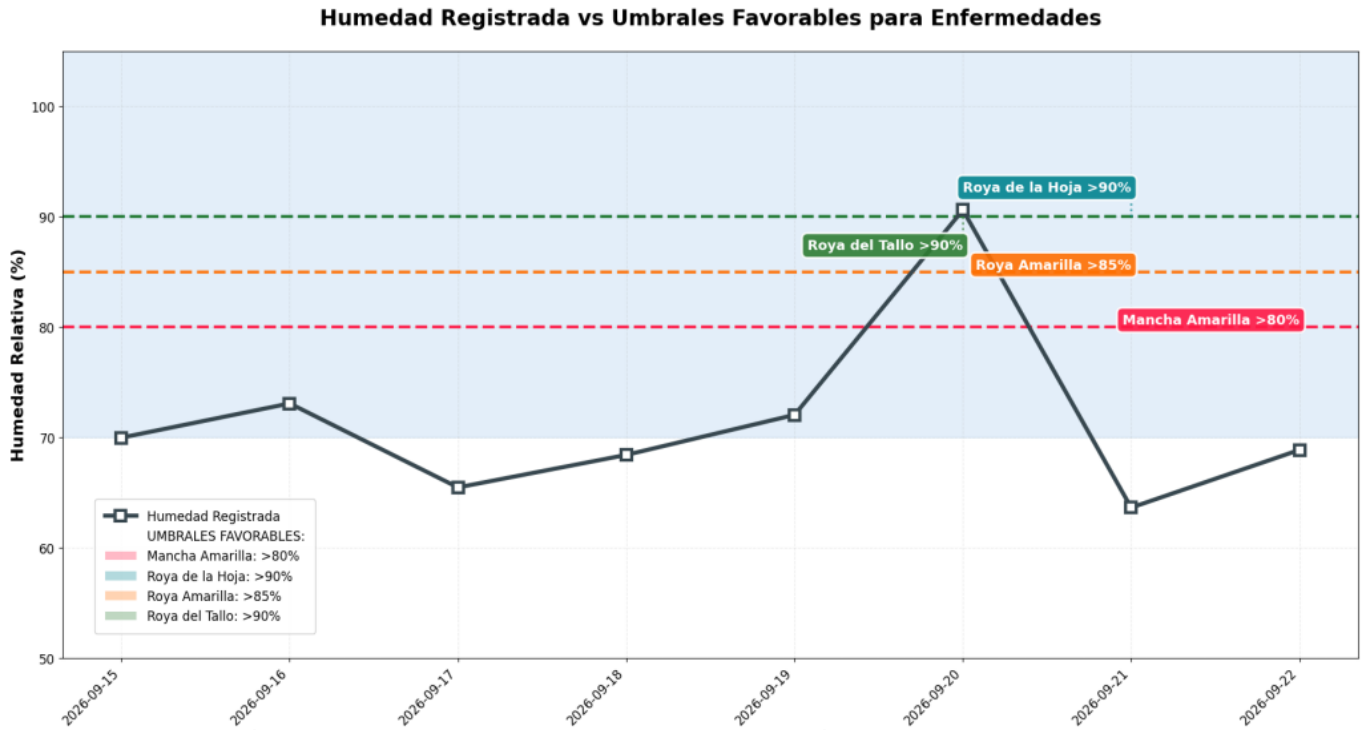

Figura 2. Evolución de la humedad relativa durante el período comprendido entre el 15 y el 22 de septiembre de 2026 y umbrales de humedad relativa considerados favorables para las principales enfermedades del trigo.

En conjunto, las condiciones térmicas fueron compatibles con el desarrollo de varias de las enfermedades consideradas durante buena parte del período, particularmente entre el 17 y el 20 de septiembre. Sin embargo, la humedad relativa se mantuvo por debajo de los umbrales favorables durante la mayor parte de los días, con un incremento puntual el 20 de septiembre. En consecuencia, la coincidencia de condiciones térmicas y de humedad favorables fue limitada y se concentró principalmente hacia mediados del período.

Mapas de riesgo climático

Los mapas correspondientes al período comprendido entre el 15 y el 22 de septiembre mostraron diferencias en los niveles de riesgo climático entre las enfermedades consideradas (Figura 3). El nivel de riesgo expresa qué tan favorables fueron las condiciones meteorológicas para cada enfermedad y no implica necesariamente su presencia en los lotes.

Para mancha amarilla predominaron condiciones de riesgo moderado, con sectores de riesgo alto en el norte, centro y sudeste de la provincia. Para roya de la hoja, predominaron condiciones de riesgo moderado en prácticamente todo el territorio provincial. La roya amarilla presentó principalmente condiciones de riesgo moderado, con sectores de riesgo alto en el centro y sudeste. Para roya del tallo, predominaron condiciones de riesgo bajo, aunque se observaron sectores de riesgo moderado hacia el norte de la provincia.

En comparación con el período comprendido entre el 8 y el 14 de septiembre, para mancha amarilla se mantuvo el predominio de condiciones de riesgo moderado, aunque aumentó la extensión de los sectores con riesgo alto. Para roya de la hoja se observó un incremento del riesgo, con mayor predominio de condiciones moderadas. En roya amarilla, en cambio, se registró una disminución respecto del período anterior, cuando habían predominado

condiciones de riesgo alto en toda la provincia. Para roya del tallo continuaron predominando condiciones de riesgo bajo, aunque aparecieron sectores de riesgo moderado hacia el norte provincial.

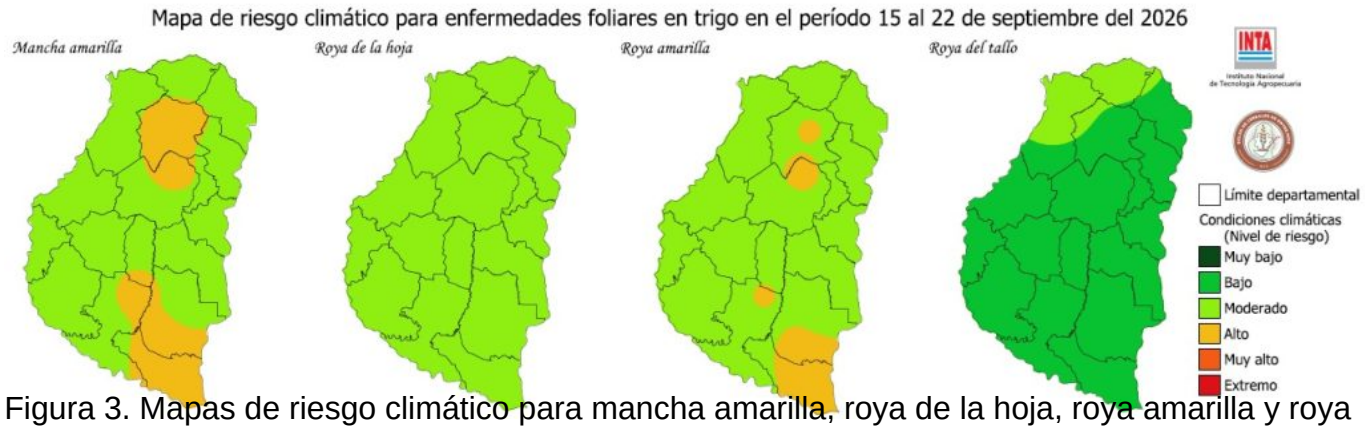

Figura 3. Mapas de riesgo climático para mancha amarilla, roya de la hoja, roya amarilla y roya del tallo en la provincia de Entre Ríos, correspondientes al período comprendido entre el 15 y el 22 de septiembre de 2026.

Riesgo climático para fusariosis de la espiga

Para el período comprendido entre el 15 y el 22 de septiembre, se incorporó el análisis del riesgo climático para fusariosis de la espiga. El mapa correspondiente mostró un predominio generalizado de condiciones de riesgo muy bajo en la provincia, sin observarse sectores con categorías superiores de riesgo durante el período analizado (Figura 4). En el caso de la fusariosis de la espiga, la ocurrencia de infecciones depende además de la coincidencia de condiciones ambientales favorables con estados fenológicos susceptibles del cultivo.

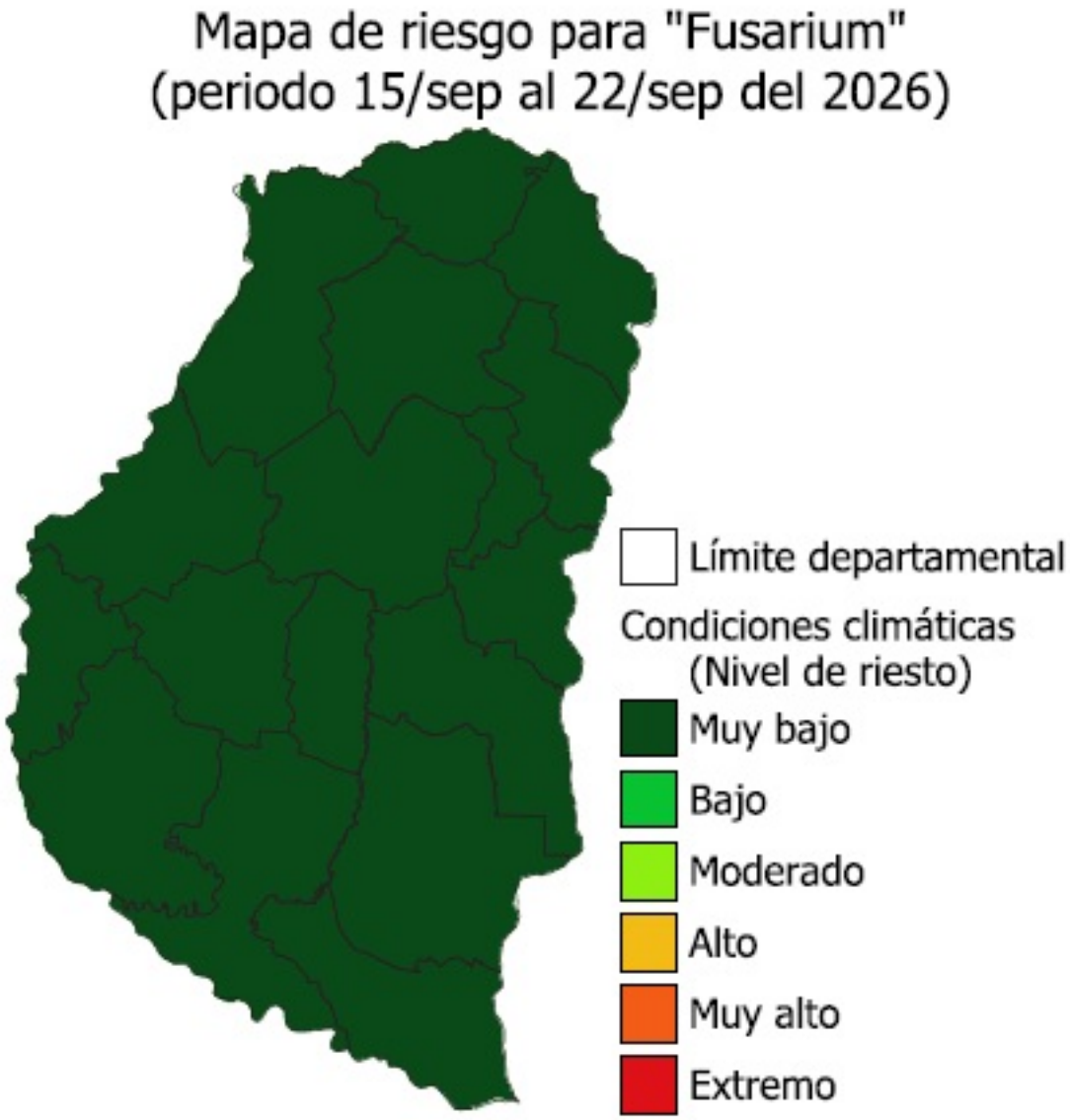

Figura 4. Mapa de riesgo climático para fusariosis de la espiga en la provincia de Entre Ríos, correspondiente al período comprendido entre el 15 y el 22 de septiembre de 2026.

Situación sanitaria de los lotes monitoreados

Como parte del seguimiento sanitario periódico de lotes de trigo durante la campaña 2026, se relevaron **17 lotes ubicados en los departamentos Diamante, Paraná y Uruguay** (Tabla 1). Los lotes presentaron estados fenológicos comprendidos entre **Z32–33 y Z61–65**, reflejando diferencias en el desarrollo del cultivo entre los sitios evaluados.

Tabla 1. Características de los lotes de trigo incluidos en el seguimiento sanitario en los departamentos Diamante, Paraná y Uruguay.

Lote	Coordenadas geográficas	Sitio	Departamento	Cultivar	Antecesor
1	31°58'36.68" S 60°37'20.46" O	Aldea Valle María	Diamante	DM Pehuén	Trigo/soja
2	31°59'08.13" S 60°38'04.69" O	Aldea Valle María	Diamante	Baguette 620	Maíz
3	31°58'36.79" S 60°39'49.00" O	General Alvear	Diamante	DM Pehuén	Maíz
4	32°00'42.71" S 60°35'01.43" O	Aldea Valle María	Diamante	Baguette 620	Trigo/soja
5	31°59'37.51" S 60°38'59.45" O	Aldea Valle María	Diamante	DM Catalpa	Trigo/soja
6	32°00'45.28" S 60°32'42.29" O	Aldea Protestante	Diamante	DM Aromo	Maíz
7	31°59'07.53" S 60°32'05.49" O	Aldea Grapschental	Diamante	DM Catalpa	Maíz
8	31°56'10.97" S 60°34'33.98" O	Aldea Spatzenkutter	Diamante	DM Tipa	Maíz
9	31°51'03.04" S 60°31'49.52" O	EEA Paraná	Paraná	DM Aromo	Maíz
10	32°29'11.15" S 58°23'20.44" O	C. del Uruguay	Uruguay	DM Catalpa	Maíz
11	32°29'18.17" S 58°23'19.36" O	C. del Uruguay	Uruguay	DM Ceibo	Soja
12	32°31'25.90" S 58°22'48.90" O	EEA C. del Uruguay	Uruguay	ACA 921	Triticale
13	32°31'25.90" S 58°22'48.90" O	EEA C. del Uruguay	Uruguay	ACA 607	Sorgo
14	32°33'46.33" S 58°20'12.74" O	Colonia El Sauce	Uruguay	IS Tordo	Maíz
15	32°33'35.88" S 58°22'32.59" O	Talita	Uruguay	Baguette 620	Maíz
16	32°28'43.64" S 58°25'33.24" O	San Justo	Uruguay	Baguette 620	Maíz
17	32°31'31.94" S 58°22'51.20" O	EEA C. del Uruguay	Uruguay	ACA 921	Sorgo

La **mancha amarilla** se detectó en **16 de los 17 lotes**, con incidencias comprendidas entre **3,3 y 100 %** y severidades entre **0,1 y 7,2 %** en los lotes con presencia de la enfermedad. La **roya amarilla** presentó una distribución más restringida, aunque en uno de los lotes alcanzó valores elevados de incidencia y severidad (Tabla 2). No se detectaron **roya de la hoja ni roya del tallo** en los lotes evaluados.

Además, en seis lotes del departamento Uruguay se detectó septoriosis (*Zymoseptoria tritici*), con incidencias entre 10,0 y 46,7 % y severidades entre 0,4 y 4,7 %.

Tabla 2. Incidencia (I) y severidad (S) de mancha amarilla y roya amarilla en los lotes de trigo monitoreados en los departamentos Diamante, Paraná y Uruguay entre los días 21 y 23 de septiembre de 2026.

Lote	Estado fenológico*	Mancha amarilla		Roya amarilla	
		I (%)	S (%)	I (%)	S (%)
1	55–57	96,7	1,2	0,0	0,0
2	61–65	46,7	0,1	0,0	0,0
3	59	33,3	0,1	0,0	0,0
4	59	56,7	0,1	0,0	0,0
5	57–59	100,0	0,4	0,0	0,0
6	61	90,0	0,5	0,0	0,0
7	59	70,0	0,2	0,0	0,0
8	61	60,0	0,1	0,0	0,0
9	32–33	50,0	0,1	86,7	4,3
10	47–60	3,3	0,7	0,0	0,0
11	33	76,7	7,2	0,0	0,0
12	37	0,0	0,0	3,3	0,2
13	37	36,7	3,0	0,0	0,0
14	36	16,7	1,1	0,0	0,0
15	59	3,3	0,3	0,0	0,0
16	57–59	16,7	1,2	0,0	0,0
17	36–39	30,0	0,7	6,7	1,0

**Estado fenológico según la escala de Zadoks. Los intervalos indican el rango de estados fenológicos observado en las plantas evaluadas.*
Incidencia: porcentaje de plantas afectadas. Severidad: porcentaje de área foliar afectada.

Perspectiva de riesgo climático

A partir de las condiciones meteorológicas pronosticadas para el período comprendido entre el 23 y el 29 de septiembre, se estimó la evolución diaria del riesgo climático para mancha amarilla, roya amarilla, roya de la hoja y roya del tallo (Figura 5).

Para mancha amarilla, se prevé un aumento general del riesgo hacia la segunda mitad del período, alcanzando los niveles más elevados alrededor del 28 de septiembre, seguido de una disminución hacia el final. Para roya de la hoja, el riesgo presentaría variaciones durante la semana, con los menores niveles hacia el 25 y 26 de septiembre y un incremento posterior. En roya amarilla, se prevé una disminución marcada durante los primeros días, seguida de un aumento transitorio hacia el 27 de septiembre y un nuevo descenso hacia el final del período. Para roya del tallo, se prevé una tendencia general creciente, con un aumento progresivo del riesgo hasta alcanzar su nivel más elevado hacia el 28 de septiembre, seguido de una

disminución el 29.

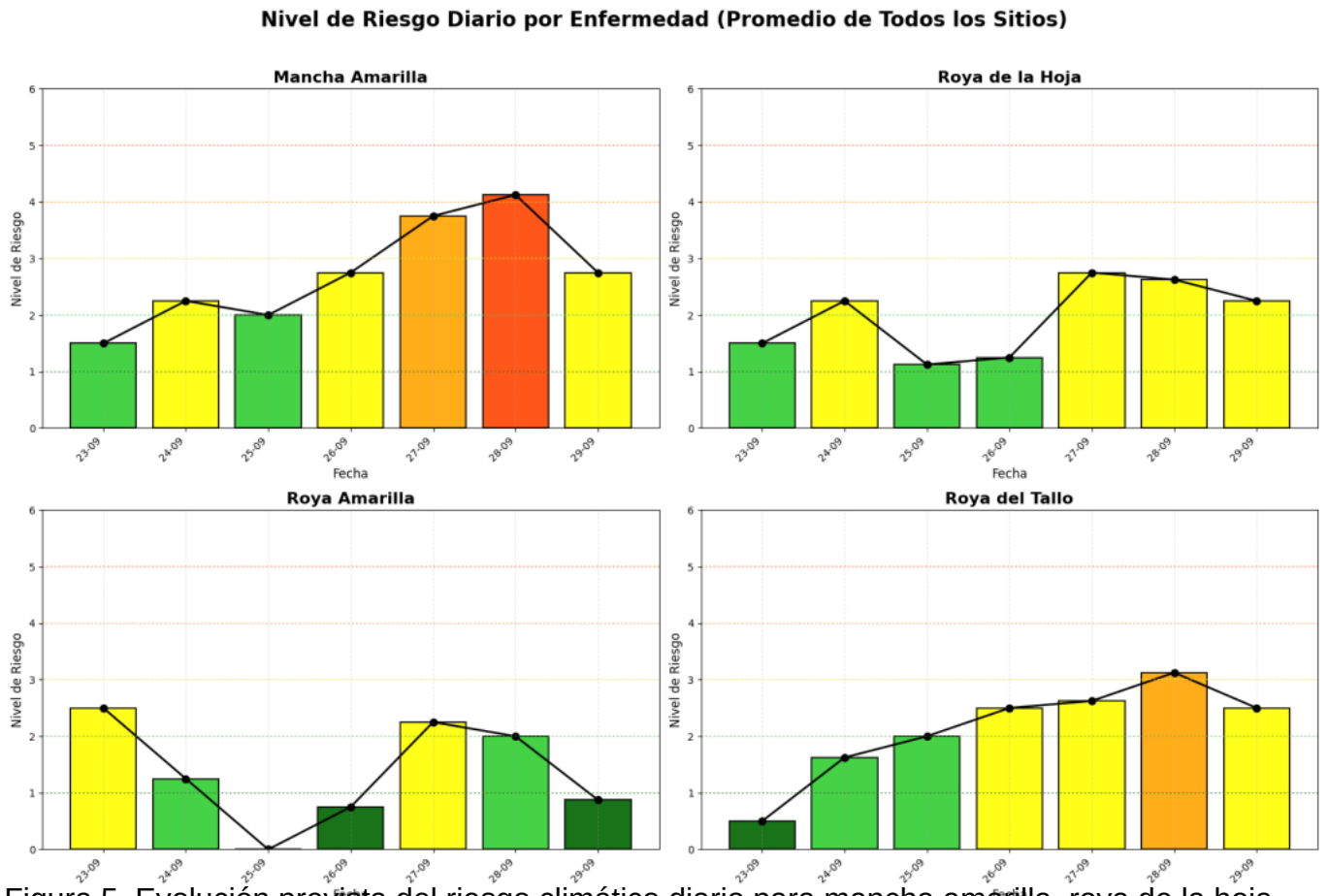

Figura 5. Evolución prevista del riesgo climático diario para mancha amarilla, roya de la hoja, roya amarilla y roya del tallo durante el período comprendido entre el 23 y el 29 de septiembre de 2026, considerando el promedio de los sitios analizados.

Para fusariosis de la espiga, se prevén condiciones de riesgo muy bajo entre el 23 y el 26 de septiembre, con un incremento a riesgo moderado durante el 27 y 28 de septiembre y a riesgo alto hacia el 29 de septiembre (Figura 6).

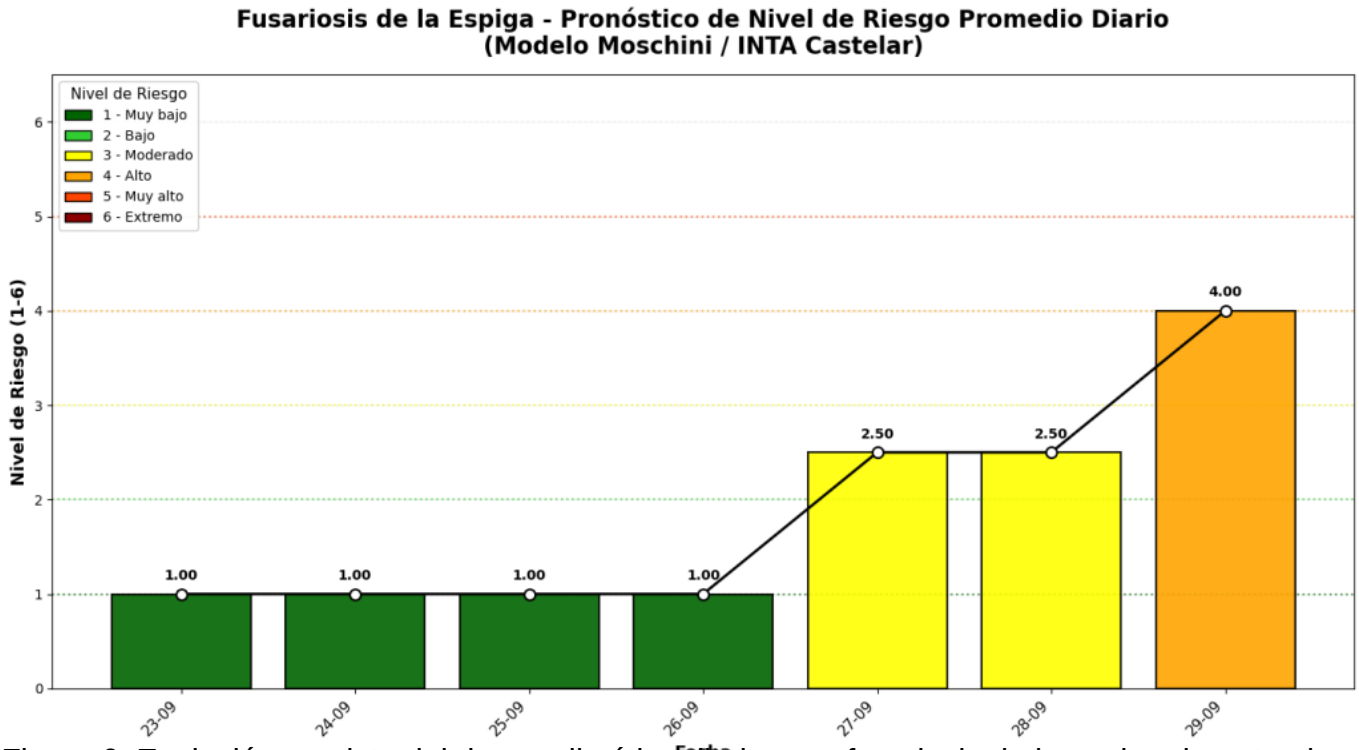

Figura 6. Evolución prevista del riesgo climático diario para fusariosis de la espiga durante el período comprendido entre el 23 y el 29 de septiembre de 2026, según el modelo Moschini/INTA Castelar.

En conjunto, la perspectiva indica un aumento del riesgo climático hacia la segunda mitad del período principalmente para mancha amarilla y roya del tallo, mientras que para roya de la hoja se esperan niveles variables y para roya amarilla un comportamiento fluctuante. **Para fusariosis de la espiga, se prevé un incremento del riesgo hacia el final del período.**

Estas estimaciones se basan en condiciones meteorológicas pronosticadas y, por lo tanto, pueden modificarse conforme se actualicen los pronósticos.

Síntesis

Durante el período comprendido entre el 15 y el 22 de septiembre, las condiciones meteorológicas determinaron diferencias en el riesgo climático entre las enfermedades consideradas. Para mancha amarilla predominaron condiciones de riesgo moderado, con sectores de riesgo alto, mientras que para roya de la hoja predominaron condiciones moderadas. La roya amarilla presentó principalmente condiciones de riesgo moderado, con sectores de riesgo alto, y para roya del tallo predominaron condiciones de riesgo bajo, con algunos sectores moderados hacia el norte de la provincia. Para fusariosis de la espiga, predominaron condiciones de riesgo climático muy bajo en toda la provincia.

En los 17 lotes monitoreados en los departamentos Diamante, Paraná y Uruguay, la mancha amarilla se detectó en 16 lotes, con incidencias entre 3,3 y 100 % y severidades entre 0,1 y 7,2 %. La roya amarilla se detectó en tres lotes, con incidencias entre 3,3 y 86,7 % y severidades entre 0,2 y 4,3 %. No se detectaron roya de la hoja ni roya del tallo. **Además, en seis lotes del departamento Uruguay se detectó septoriosis, con incidencias entre 10,0 y 46,7 % y severidades entre 0,4 y 4,7 %.**

Para el período comprendido entre el 23 y el 29 de septiembre, se prevé un aumento del riesgo climático hacia la segunda mitad del período principalmente para mancha amarilla y roya del tallo, mientras que para roya de la hoja se esperan niveles variables y para roya amarilla un comportamiento fluctuante. **Para fusariosis de la espiga, se prevé un incremento del riesgo hacia el final del período, alcanzando condiciones de riesgo alto el 29 de septiembre.**

Equipo participante:

Ing. Agr. Pablo D. Velazquez (Laboratorio de Patología Vegetal, INTA EEA Paraná)

Ing. Agr. Miriam Asselborn (Laboratorio de Fitopatología – Cultivos de secano, INTA EEA Concepción del Uruguay)

Ing. Agr. Pablo Fontanini (Bolsa de Cereales de Entre Ríos)

Ing. Agr. Evangelina Spengler (Bolsa de Cereales de Entre Ríos)

Sra. Ludmila Varela (Bolsa de Cereales de Entre Ríos)

Ing. Agr. Florencia Casse (INTA AER Colón)

Ing. Agr. Héctor Rodríguez (INTA AER San Salvador)

Aux. Téc. Juan C. Velazquez (INTA EEA Paraná)

Sección: RED DE MONITOREO DE CHICHARRITA -INTA, CENTRO REGIONAL ENTRE RÍOS

Información sobre *Dalbulus maidis* en MAÍZ, avena, raigrás, trigo, colza, vicia y alfalfa en Entre Ríos

56 INFORME- PERÍODO 22 al 24 de septiembre de 2026

En los 17 sitos monitoreados por los profesionales que integran la Red NO se detectó la presencia de *Dalbulus maidis.*

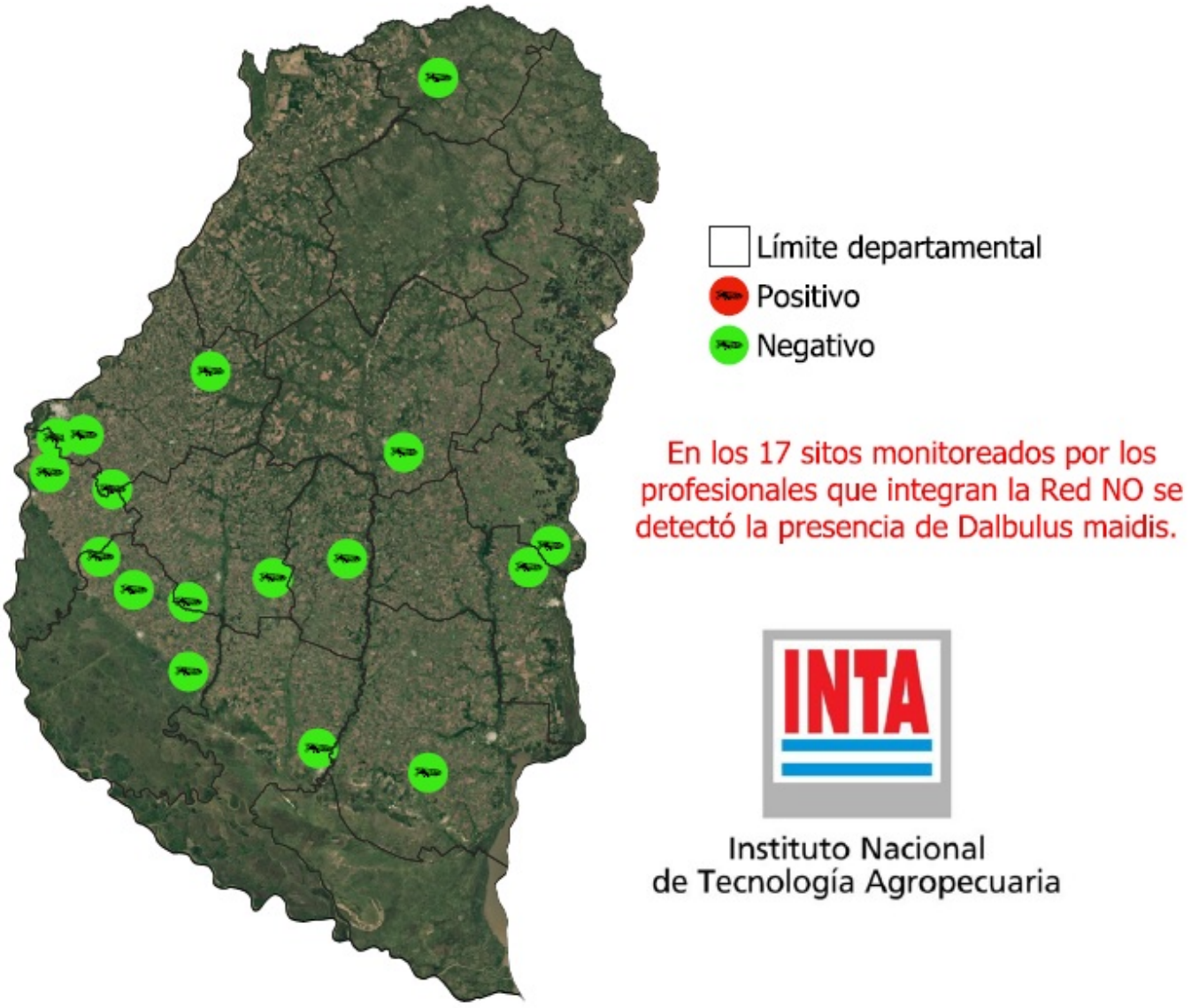

A continuación, se detallan los valores correspondientes a la densidad de chicharritas por m^2 en avena, avena + vicia, trigo, alfalfa y bordes vegetados (Tabla 1, 160 golpes de red) y el número de chicharrita por planta de maíz (Tabla 2, Observación directa 50 plantas de maíz). Además, se presentan datos provenientes de las capturas en trampas cromáticas adhesivas (Tabla 3), pertenecientes a profesionales del Círculo de Ingenieros Agrónomos de Victoria (CIAV), de la AER Victoria y de la EEA Paraná del INTA.

Tabla 1. Densidad de chicharrita por m² de acuerdo con el cultivo/pastura/borde vegetado y sitio monitoreado.

Sitio	Cultivo	Densidad (chicharrita/m²)
Nogoyá	Alfalfa	0
Villaguay	Alfalfa	0
Colón	Alfalfa + raigrás	0
Gualeguay	Avena + Vicia	0
Rosario del Tala	Trigo	0
Paraná	Trigo	0
Diamante	Trigo	0

Tabla 2. Densidad de chicharrita por planta de acuerdo con el sitio monitoreado y el estado fenológico del cultivo de maíz.

Sitio	Estado Fenológico	Densidad (chicharrita/pl.)
Gualeguaychú	VE	0
María Grande	VE	0
Crespo	V1	0
C. del Uruguay	V1	0
Feliciano	V1-V2	0

Tabla 3. Densidad de chicharrita por trampa cromática adhesiva de acuerdo con el sitio monitoreado o nombre del Establecimiento y cultivo.

	Sitio	Cultivo-EF	Densidad (chicharrita/trampa)
Departamento Victoria	Don Bernardo	Trigo	0
	Febre	Colza	0
	Rincón de Nogoyá	Vicia	0
	El Mambu	Maíz- VE	0
Departamento Paraná	EEA Paraná	Trigo	0

Consideraciones:

- **A partir de este informe se comenzaron a realizar los monitoreos en lotes de maíz de primera. El cultivo se encuentra entre VE y V2 por lo que se sugiere intensificar los monitoreos a fin de programar con antelación posibles estrategias de manejo del insecto vector.**
- En los monitoreos realizados mediante observación directa de plantas de maíz, red de arrastre y trampas cromáticas adhesivas no se detectaron adultos de chicharritas del

maíz. Las temperaturas bajas registradas en estos últimos días posiblemente incidieron en la supervivencia de este insecto vector, como así también de las plantas voluntarias que emergieron luego de las precipitaciones ocurridas en diferentes zonas agrícolas de la provincia.
- Seguir los Informes de la Red Nacional de Monitoreo mediante trampas cromáticas adhesivas (https://www.argentina.gob.ar/red-nacional-de-monitoreo-informes).

Sección: MÁRGENES BRUTOS COMPARATIVOS DE MAÍZ DE PRIMERA VERSUS SOJA DE PRIMERA EN ENTRE RÍOS BAJO ESCENARIO "EL NIÑO"

El presente informe evalúa la competitividad económica relativa entre el maíz de primera y la soja de primera para la campaña 2026/27 en Entre Ríos, en un contexto donde los modelos climáticos internacionales proyectan una elevada probabilidad de ocurrencia de la fase «El Niño», escenario que en Entre Ríos favorece precipitaciones por encima de lo normal en los meses críticos del ciclo estival.

Por esta razón, la proyección se basa en los rendimientos promedio provinciales de los últimos cinco ciclos agrícolas bajo evento “El Niño”, donde los valores son los siguientes:

- Maíz de primera: 6.796 kg/ha
- Soja de primera: 2.558 kg/ha

Si consideramos la serie histórica desde la campaña 2009/10 en adelante, se observa que las campañas bajo evento “El Niño” presentan rendimientos superiores a la media provincial: un 15 % superiores en soja de primera y un 23 % mayores en el caso del maíz, evidenciando la mayor respuesta del cereal ante la disponibilidad hídrica.

A partir de las cotizaciones futuras (Maíz Abril 2027 a 204 USD/t y Soja Mayo 2027 a 362 USD/t), los rendimientos esperados en ciclos con un evento “El Niño” y la estructura de costos actualizada provincial, se concluye que el maíz supera a la soja en margen bruto por +163 USD/ha tanto en campo propio como bajo arrendamiento.

Tabla 1. Comparativo económico de Maíz 1ª vs. Soja 1ª (Campaña 2026/27)

Cultivo	Rendimiento ciclos Niño	Rinde de indiferencia	Precio a cosecha (u$s/t)	MB/ha campo propio (u$s)	MB/ha con arrendamiento (u$s)
Maíz	6.796 kg/ha	5.180 kg/ha	$ 204	$ 568	$ 330
Soja	2.558 kg/ha	2.100 kg/ha	$ 362	$ 405	$ 167

En campo alquilado, el maíz requiere el 76,2 % de su rinde esperado (51,8 qq/ha) para cubrir la totalidad de los costos, dejando un margen de seguridad de más de 16 qq/ha de ganancia neta. En contrapartida, la soja necesita el 82 % de su rinde (21 qq/ha), reduciendo el margen de maniobra a 4,6 qq/ha.

Desde la perspectiva del riesgo de mercado en esquemas arrendados, el maíz tolera una caída de su cotización de hasta el 24 % (con un precio de indiferencia de 155 USD/t frente a los 204

USD/t futuros), mientras que la soja soporta un retroceso de hasta el 18 % (precio de indiferencia de 297 USD/t vs. 362 USD/t).

Si bien el maíz demanda un mayor capital de trabajo por hectárea ($1.056 vs. $754 U$D/ha con arrendamiento), el potencial productivo en año ofrece una relación beneficio/costo sustancialmente más favorable para la toma de decisiones en esta siembra de gruesa.